Harris MATTENHOF HARRIS

0200HO07966 DELTA-LAMBDA x TATOO x G W ATWOOD

GENOMAX FERTILITY FIRST ROBOTREADY

FARNEAR DELTA-LAMBDA
MATTENHOF TATOO HOPE VG-85-2YR-CHE
DUCKETT CRUSH TATOO
HANNA-VRAY
MAPLE-DOWNS-I G W ATWOOD
CORSE-VRAY EX-92-6YR-FRA

MATTENHOF TATOO HOPE
DAM

HANNA-VRAY
GRANDDAM

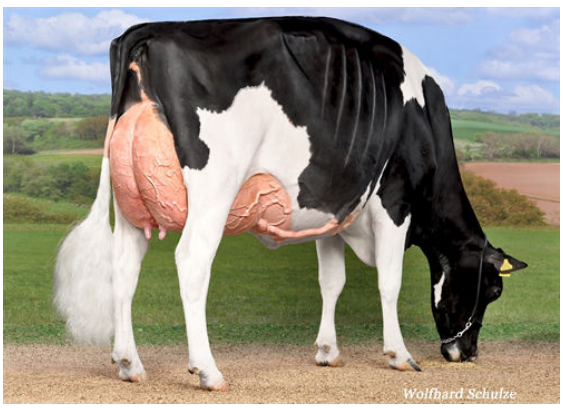

HANNA-VRAY
GRANDDAM

GTPI 2279

TR TL TY MWT TV 99%-I HH1F HH2F HH3F HH4F HH5F HH6F HCDF HMWF

Reg. #: HOCHEM120157244705	aAa: 234165	DMS: 123,234
Data nascita: 02/19/2021	Kappa Caseina: AB	Beta Caseina: A1A2

PRODUZIONE

G Allev. G Figlie 81% Att. CDCB-G / 04-25

Latte lbs **-399**	Grasso lbs **-49**	Grasso % **-0.13**	Proteina lbs **-18**	Proteina % **-0.02**
NM$ **-388**	CM$ **-395**	FM$ **-370**	GM$ **-392**	DWP$
Efficienza Alimentare **-134**	RFI **-12**	Risparmio Sostanza Secca **-92**	Efficienza Metano **99**	

TRATTI GESTIONALI

Immunity 97

Vita produttiva	**-0.2**	Immunità vitelli	**99**
Cellule somatiche	**2.93**	Tasso Concepimento Vacche	**-0.1**
Fertilità Figlie	**-0.4**	Tasso Concepimento Manze	**2.1**
Ind. Sopravvivenza	**-2.4**	Facilità al parto	**2.9%** 87% Att.
Ind. Sopravvivenza Manze	**0.3**	Facilità al parto delle figlie	**3.0%** 70% Att.
Indice Fertilità	**-0.6**	Vitalità vitelli	**6.4%**
		Vitalità figli delle figlie	**6.7%**

MORFOLOGIA

G Allev. G Figlie 80% Att. HAUSA-G / 04-25

PTA Tipo	**2.10**	Struttura	**0.64**
Mammella	**1.87**	Caratteri da Latte	**0.84**
Arti e Piedi	**0.90**		

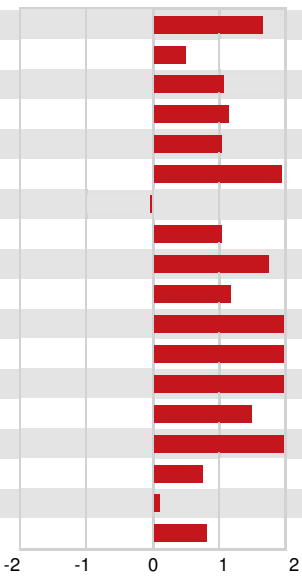

Statura	Alta	**+1.65**
Forza-Vigore	Forte	**+0.51**
Profondità	Profondo	**+1.06**
Caratteri da Latte	Cost. Aperto	**+1.13**
Angolo Groppa	Spiovente	**+1.01**
Groppa larghezza	Larga	**+1.97**
Arti post. Vista lat.	Stangati	**-0.04**
Arti post. Vista post.	In appiombo	**+1.04**
Angolo del Piede	Alto	**+1.78**
Mobilità	Desiderabile	**+1.17**
Mammella Anteriore	Forte	**+2.43**
Mamm. Post. Altezza	Alta	**+2.38**
Mamm. Post. Larghezza	Larga	**+2.15**
Legamento	Forte	**+1.49**
Profondità Mammella	Alta	**+2.05**
Posiz. Capezzoli ant.	Convergenti	**+0.78**
Capezzoli lunghezza	Lunghi	**+0.10**
Posiz. Capezzoli post.	Convergenti	**+0.83**